

# بررسی میزان بیان ناقل گلوتامات شماره ۳، سطح $\alpha$ -TNF و فعالیت فاکتور هسته‌ای کاپا B در پدیده تحمل به ایسکمی حاصل از هیپرکسی نورموباریک پیوسته و متناوب در مدل رت سکته مغزی

محمد رضا بیگدلی<sup>۱</sup>، سهراب حاجیزاده<sup>۲\*</sup>، مهدی فروزنده<sup>۳</sup>، علی خوش باطن<sup>۴</sup>

- ۱- استادیار، دانشکده علوم زیستی، دانشگاه شهید بهشتی، تهران، ایران
- ۲- استاد، گروه فیزیولوژی، دانشکده علوم پزشکی، دانشگاه تربیت مدرس، تهران، ایران
- ۳- دانشیار، گروه بیوتکنولوژی، دانشکده علوم پزشکی، دانشگاه تربیت مدرس، تهران، ایران
- ۴- استاد، گروه فیزیولوژی، دانشکده پزشکی، دانشگاه علوم پزشکی بقیه‌ا...، تهران، ایران

دریافت مقاله: ۸۶/۹/۲۰  
پذیرش مقاله: ۸۶/۱۲/۸

## چکیده

هدف: مطالعات اخیر بیان می‌کند که هیپرکسی نورموباریک (HO) متناوب و پیوسته باعث ایجاد پدیده تحمل به ایسکمی می‌شود و از این طریق از آسیب‌های ناشی از برقراری مجدد جریان جلوگیری می‌کند. هدف از این مطالعه بررسی تغییرات بیان ناقل اسیدهای آمینه تحریکی شماره ۳ (EAAT3)، سطح فاکتور نکروز تومور آلفا ( $\alpha$ -TNF) سرم و فعالیت فاکتور هسته‌ای کاپا B به دنبال پیش شرطی سازی با HO پیوسته و متناوب است.

مواد و روش‌ها: رت‌ها به چهار گروه آزمایشی تقسیم شدند و هر گروه حاوی ۲۱ حیوان بود. دو گروه اول به صورت پیوسته (۲۴ ساعت مداوم) و متناوب (۴ ساعت در روز به مدت ۶ روز) در معرض اکسیژن ۹۵ درصد به نام HO متناوب و پیوسته قرار گرفتند. دو گروه دوم به عنوان گروه‌های کنترل همانند دو گروه اول به صورت پیوسته (۲۴ ساعت مداوم) و متناوب (۴ ساعت در روز به مدت ۶ روز) در معرض اکسیژن ۲۱ درصد به نام نورموکسی نورموباریک (RA؛ هوای اتاق) پیوسته و متناوب قرار گرفتند. هر گروه به سه زیر گروه به نام زیرگروه انسداد شریان راست مرکزی مغز (MCAO)، زیرگروه گروه شم MCAO (جراحی بدون ایسکمی MCAO)، و زیرگروه دست نخورده (بدون هیچ گونه جراحی) تقسیم شدند. بعد از ۲۴ ساعت برقراری جریان خون مجدد بعد از ۶۰ دقیقه ایسکمی، میزان نقص نورولوژیک (NDS) در زیر گروه MCAO بررسی شد. بلافارسله و ۴۸ ساعت بعد از پیش درمان، خونگیری به منظور اندازه‌گیری سطح  $\alpha$ -TNF سرم انجام شد. بعد از ۴۸ ساعت، رت‌ها برای نمونه برداری مغزی قربانی شدند تا اثر پیوسته و متناوب بر تغییرات فعالیت فاکتور هسته‌ای کاپا B بیان و EAAT3 و سطح  $\alpha$ -TNF سرم بررسی شود.

نتایج: پیش شرطی سازی با HO پیوسته و متناوب باعث کاهش NDS می‌شود. پیش درمان با HO پیوسته و متناوب باعث افزایش بیان EAAT3 و سطح  $\alpha$ -TNF سرم می‌شود.

نتیجه‌گیری: اگرچه مطالعات بیشتری برای وضوح مکانیسم‌های تحمل به ایسکمی لازم است، اما HO پیوسته و متناوب ظاهراً تا حدی آثارشان را از طریق افزایش بیان ناقل اسیدهای آمینه تحریکی و سطح  $\alpha$ -TNF سرم انجام می‌دهند.

کلیدواژگان: هیپرکسی نورموباریک، تحمل به ایسکمی مغزی، ناقل اسیدهای آمینه تحریکی شماره ۳، سطح  $\alpha$ -TNF، سرم، فاکتور هسته‌ای کاپا B.

## ۱- مقدمه

استرس‌های دیگر حاصل از همین تحریکات آسیب‌رسان (تحمل: Tolerance) یا دیگر تحریکات آسیب‌رسان (تحمل

تحریکات آسیب‌رسان در دوزهای پایین و کم، البته زیر آستانه آسیب‌رسان به سلول، پاسخ سازشی القا می‌کند که مغز را در برابر

\* نشانی مکاتبه: تهران، تقاطع بزرگراه جلال آل احمد و شهید چمران، دانشگاه تربیت مدرس، دانشکده علوم پزشکی، گروه فیزیولوژی، صندوق پستی: ۱۴۱۱۵-۳۳۱

هیپرکسی در برابر ایسکمی را سرکوب می‌کند [۱]. NF- $\kappa$ B و TNF- $\alpha$  احتمالاً در یک حلقه فیدبک (Feedback loop) مثبت با همدیگر همکاری دارند [۱۸].

در نهایت، نشان داده شده است که حفاظت عصبی حاصل از محرومیت به اکسیژن و گلوکز از افزایش گلوتامات خارج سلولی جلوگیری می‌کند و بازگیری گلوتامات از طریق افزایش بیان ناقلين گلوتامات افزایش می‌یابد [۲۹]؛ بنابراین، ناقلين گلوتامات هدف اصلی مانورهای پیش شرطی‌سازی به ایسکمی هستند از طرف دیگر، مطالعات نشان می‌دهد که TNF- $\alpha$  نقش مهمی در ایجاد پدیده تحمل به ایسکمی ایفا می‌کند [۳۰]. TNF- $\alpha$  توسط پروتئاز غشایی موسوم به آنزیم تبدیل کننده (TNF- $\alpha$  Converting Enzyme :TACE) TNF- $\alpha$  محلول در می‌آیند.

نشان داده شده است که پیش شرطی‌سازی با هیپرکسی نورموباریک متناوب (Intermittent HO: InHO) و پیوسته (Prolonged HO: PrHO) باعث ایجاد درجات متفاوت پدیده تحمل به ایسکمی در مغز رت می‌شوند [۱۳]. هدف از این مطالعه بررسی ملکولی اثر HO بر بافت مغز است. از آنجایی که مهم‌ترین آسیب بعد از ایسکمی مغزی آزادسازی گلوتامات است که آن نیز به نوبه خود باعث بروز سمیت حاصل از تحریک در اثر افزایش یون کلسیم است، بنابراین یکی از مسیرهای مولکولی پدیده تحمل به ایسکمی افزایش بیان ناقل گلوتامات است. از طرف دیگر بنا به آثار گزارش شده هیپرکسی و درگیری آن با TNF- $\alpha$  و فعالیت NF- $\kappa$ B بر مطالعه طوری طراحی شده است تا اثر InHO و PrHO را تغییرات بیان ناقل اسیدهای آمینه تحریکی شماره ۳ (Excitatory Amino-acid Transporter 3 :EAAT3) فعالیت TNF- $\alpha$  و سطح NF- $\kappa$ B سرم بررسی شوند.

## ۲- مواد و روش‌ها

### ۲-۱- گروه‌بندی حیوانات

رت‌های اسپراگو- دالی (۳۵۰-۲۵۰ گرم) به طور تصادفی به چهار گروه حاوی ۲۱ حیوان تقسیم شدند. دو گروه در درون جعبه اکسیژن با غلظت بالای ۹۰ درصد تحت عنوان شرایط هیپرکسی قرار داده شدند. از این دو گروه، یک گروه

متقابل: (Cross tolerance) حفاظت می‌کند [۱]. در بین استرس‌های مختلف، هیپوکسی (Hypoxia)، ایسکمی (Ischemia)، تشنج (Spreading depression) [۴]، آنکسی (Anoxia) [۵]، افسردگی متشر (Oxidative stress) [۶]، گرما [۷]، استرس اکسیداتیو (Oxidative stress) [۸]، تیمار با اسیدهای چرب اشیاع نشده [۹] و مهارکننده‌های فسفوریلاسیون اکسیداتیو (Oxidative phosphorylation) [۱۰] فرایند تحمل مغز در برابر ایسکمی (Ischemic tolerance) (کامل یا کانونی) را القا می‌کند. اکثر این تحریکات به علت آثار سمی، قادر پتانسیل پیاده‌سازی بالینی هستند. به همین دلیل تحریکات غیر فارماکولوژیکی برای ایجاد پدیده تحمل به ایسکمی بیشتر مورد توجه قرار گرفته‌اند. یکی از این تحریکات غیر فارماکولوژیکی هیپرکسی (Hyperoxia) است. اخیراً چندین گزارش وجود دارد که هیپرکسی نیز باعث بروز تحمل به ایسکمی می‌شود [۱۱-۱۳]. مکانیسم‌های احتمالی متعددی در القا و حفظ پدیده تحمل به ایسکمی در مغز پیشنهاد شده‌اند. مکانیسم‌های مولکولی احتمالی شامل انواع وسیعی از میانجی‌هایی هستند که القای پروتئین‌های شوک گرمایی [۱۴]، گیرنده‌های ان-متیل د-آسپارتات (N-methyl-D-aspartic acid :NMDA) [۱۵-۱۷]، عوامل ضد مرگ برنامه‌ریزی شده سلول (Antiapoptotic) [۱۸]، ایستر لوكین-۱ (Interleukin-1) [۱۹]، گیرنده‌های آدنوزینی ATP Adenosine receptors) [۲۰]، سوبراکسید دیسموتاز (Superoxide dismutase) [۲۱]، گونه‌های اکسیژن واکنشی (Reactive Oxygen Species :ROS) [۲۲]، فعال‌سازی p21ras (Metallothioneins) [۲۳]، فعال‌سازی گیرنده ماتالوتوبینین‌ها (Akt) [۲۴]، فعال‌سازی گیرنده فاکتور رشد اندوتیالی عروق و (پروتئین کیناز B) [۲۵]، اریتروپویتین (Erythropoietin) [۲۶]، کسپاز-۳ (Caspase-3) [۲۷]، و سایتوکین‌های (Cytokines) پیش التهابی و فاکتور هسته‌ای کاپا B (NF- $\kappa$ B :Nuclear Factor-kappa B) [۲۸] از این جمله‌اند.

NF- $\kappa$ B توسط عوامل مختلف داخل سلولی فعال می‌شود که شامل سیتوکین‌ها، فاکتور نکروز تومور آلفا (Tumor Necrosis Factor-alpha :TNF- $\alpha$ )، فاکتورهای نوروتروفیک (Neurotrophic Factors) و نروترانسミترها (Neurotransmitters) هستند. همچنین نشان داده شده است که NF- $\kappa$ B در ریه‌ها و قلب ظرف ۲ تا ۵ دقیقه فعال می‌شود [۳۷]. از طرف دیگر، مهار NF- $\kappa$ B قبل از هیپرکسی حفاظت حاصل از

اکسیژن در خون اندازه‌گیری شد.

### ۳-۲- ایجاد مدل سکته مغزی (انسداد شریان مرکزی مغز)

رت‌ها بعد از توزین با داروی کلرات هیدرات (Merck آلمان) (۴۰۰ میلی گرم در کیلوگرم وزن بدن) هوشبری می‌شوند. جراحی مدل‌سازی MCAO مطابق دستورالعمل لونگا و همکارانش انجام شد [۳۱]. به طور خلاصه، تحت جراحی میکروسکوپی، یک نخ بخیه نایابون از طریق تنفسی (External Carotid Artery) ECA وارد رگ شریانی راست شد و ICA را رسیدن به ACA (Anterior Cerebral Artery) از میان (Internal Carotid Artery) با پتربیگوپالاتین (Pterygopalatine) در اثر تماس نخ بخیه و ACA جریان خون از هر طرف به MCA (Middle Cerebral Artery) بسته می‌شود. این بسته شدن از طریق احساس مقاومت در پیشوای نخ و ورود حدود ۲۰ میلی‌متر طول نخ از تنفسی ECA مشخص می‌شود. بعد از ۶۰ دقیقه ایسکمی، برقراری مجدد جریان خون صورت گرفت. دمای بدن از طریق رکتوم (Rectum) اندازه‌گیری شد و میزان دما در حوالی ۳۷ درجه سانتی‌گراد حفظ شد.

### ۴-۲- ارزیابی رفتاری حاصل از سکته

معاینه‌های نورولوژیک بعد از ۲۴ ساعت انجام شد. در طول ۲۴ ساعت بعد از شروع انسداد تا قربانی شدن حیوان مراقبت‌های ویژه انجام شد. یافته‌های نورولوژیکی در ۵ مقیاس دسته‌بندی شدند: شماره صفر (۰) هیچ گونه عارضه نورولوژیک نشان ندادند؛ شماره یک (نارسایی کامل در انتهای پنجه‌های جلویی)، که یک نقص نورولوژیک کانونی خفیف در نظر گرفته شد؛ شماره دو (به چپ چرخیدن) نقص نورولوژیک کانونی متوسط؛ شماره ۳ (افتادن به سمت چپ) دچار نقص کانونی شدید هستند؛ و رت‌های شماره ۴ به طور خودبه‌خودی نمی‌توانند راه بروند و سطح هوشیاری پایین دارند.

### ۵- ارزیابی حجم سکته مغزی

بعد از قربانی کردن رت‌ها با کلرال هیدرات (۸۰۰ میلی گرم در کیلوگرم وزن بدن)، سر آن‌ها جدا شد و به سرعت مغزها خارج

به صورت پیوسته (۲۴ ساعت) و دیگری به صورت متناوب (۴ ساعت در روز به مدت ۶ روز) در معرض اکسیژن بالای ۹۰ درصد قرار گرفتند (HO). دو گروه دیگر وضعیت مشابه با دو گروه اول داشتند با این تفاوت که یک گروه به صورت پیوسته (۲۴ ساعت) و دیگری به صورت متناوب (۴ ساعت در روز به مدت ۶ روز) در معرض اکسیژن ۲۱ درصد قرار می‌گرفتند (RA: هوای اتاق). حیوان‌ها سپس به مدت ۲۴ ساعت در هوای اتاق (اکسیژن ۲۱ درصد) قرار گرفتند. سپس هر کدام از این گروه‌ها به سه زیر گروه تقسیم شدند. زیر گروه‌های اول به مدت ۶۰ دقیقه تحت جراحی انسداد شریان مرکزی (Middle Cerebral Artery Occlusion :MCAO) در ساعت بعد از لحاظ نقص‌های حرکتی نورولوژیک مطالعه شدند. زیر گروه‌های دوم به عنوان گروه شام (Sham) برنامه آزمایشی گروه اول را دریافت کردند با این تفاوت که جراحی بدون MCAO در این حیوانات صورت گرفت. زیر گروه‌های سوم به عنوان گروه دست نخورد (Intact) برنامه آزمایشی گروه اول را دریافت کردند با این تفاوت که هیچ گونه جراحی در آن‌ها صورت نگرفت. این دو گروه برای بررسی اثر خالص پیش شرطی‌سازی با InHO و PrHO بر میزان بیان EAAT3 و سطح α سرم NF-κB طراحی شده بودند. برای ارزیابی سطح α TNF-α و فعالیت B در زیر گروه‌های دوم و سوم، بلا فاصله و ۴۸ ساعت بعد از پیش درمان با HO نمونه‌گیری انجام شد.

### ۲-۲- جعبه هیپرکسی

۹ رت در داخل یک جعبه که تمامی درزهای آن به طور کامل گرفته شده است در ابعاد (۶۵×۳۵×۳۰) با دو مجرای ورودی و خروجی قرار داده شدند. ماده‌ای به نام سودا لیم (soda lime) (جادب دی اکسید کرین) در زیر جعبه قرار داده شد تا دی اکسید کرین تولیدی را جذب کند. بدین ترتیب، امکان تغییر غلظت گاز داخل جعبه به حداقل می‌رسید. اکسیژن خالص ( $F_1O_2 = 0.95$ ) یا هوای اتاق در میزان ۳ لیتر در دقیقه برای تیمار جانوران به جعبه حاوی رت‌ها متصل شد. برای افزایش دقت آزمایش یک الکترود سنجش اکسیژن نیز در کنار جعبه تعییه شد تا غلظت اکسیژن داخل جعبه را اندازه‌گیری کند. در پایان تیمار با هیپرکسی و نورموکسی (Normoxia) آزمایش‌های اندازه‌گیری میزان کازهای شریانی (Arterial Blood Gases: ABG) به منظور کنترل سطح

سپس، ۱۰ میکرولیتر محلول یکنواخت را با بافر نمونه ۲X مخلوط کرده و به مدت ۵ دقیقه جوشانده شد. ۴۰ میکروگرم از آن در روی چاهک‌های ژل وارد (Load) شد، همچنین نربان وزن مولکولی پروتئینی (Fermentas, SM0671) به اندازه ۵ میکرولیتر در یکی از چاهک‌ها وارد شد. پروتئین‌ها بر اساس اندازه در SDS-PAGE (Sodium Dodecyl Sulfate polyacrilamid gel electrophoresis) ۱۰ درصد جدا شدند.

قبل از اضافه کردن آنتی‌بادی‌های پروتئین‌های مورد نظر، غشا PVDF (Polyvinylidene fluoride) به واسطه ماده مسدود کننده (GE Health care, Amersham) (Blocking reagent) به مدت یک ساعت مسدود شد. پروتئین‌ها روی غشای PVDF با آنتی‌بادی‌های پلی‌کلونال (Polyclonal) اختصاصی علیه ناقل گلوتامات نوع ۳ (Chemicon) [EAAT3]/(Excitatory Amino-Acid Carrier) EAAC1 با رقت ۱:۲۰۰ حاصل از بز یا آنتی‌بادی اختصاصی علیه بتا-اکتین (Prosci-incorporated) به مدت یک ساعت انکوبه می‌شدند. ناقل گلوتامات و بتا-اکتین به واسطه آنتی‌بادی اختصاصی اولیه شناسایی شدند و به آن‌ها اتصال یافتند. سپس آنتی‌بادی‌های ثانویه اختصاصی بزرگ متصل به RAY-بیوتک، ایران) برای شناسایی آنتی‌بادی‌های علیه ناقل گلوتامات نوع ۳ با رقت ۱:۱۰۰۰ استفاده شد. انکوباسیون (Incubation) آنتی‌بادی ثانویه به مدت یک ساعت در دمای اتاق صورت می‌گرفت. بعد از شستشوی غشای PVDF مخلوطی از سوبسترای (ECL, Amersham Biosciences) B و A (در تاریکی روی غشا اضافه شد و در اثر واکنش آن‌ها با HRP نور تولید شد. آنگاه فیلم حساس رادیولوژی را به مدت یک دقیقه روی بلات (Blot) قرار گرفت تا فیلم رادیولوژی را متأثر سازد؛ بدین ترتیب وجود پروتئین آشکار شد.

## ۷-۲- آزمایش الایزا

### (Enzyme-Linked Immunosorbent Assay :ELISA) غله TNF- $\alpha$ سرم

بعد از خونگیری، بلافالسله سرم از لخته خونی جدا شد. تعیین غله TNF- $\alpha$  سرم توسط کیت الایزا TNF- $\alpha$  RT براساس دستور العمل کیت انجام شد (Bander Medsystem, Austeria). به طور خلاصه، بعد از شستشو با بافر نمونه، نمونه‌ها به چاهک‌ها به صورت نمونه و استاندارد اضافه شدند. هریک از چاهک‌های مزبور پوشیده از آنتی‌بادی ضد TNF- $\alpha$  بودند. سپس آنتی‌بادی ضد

شدند و در سالین (Saline) ۴ درجه سانتی‌گراد به مدت ۱۵ دقیقه نگهداری شدند. هشت برش به ضخامت ۲ میلی‌متر به صورت کرونال (Coronal) به واسطه دستگاه ماتریکس مغز تهیه شدند که شروع آن‌ها از پیاز بویایی بود. برش‌ها به مدت ۱۵ دقیقه در دمای ۳۷ درجه سانتی‌گراد در محلول ۲ درصد ۲،۳،۵ فنیل (2, 3, 5-tri phenyl tetrazolium chloride) ترازوولیوم کلراید (Tetrazolium chloride) با دوربین دیجیتال (نوکیا ۶۶۳۰) که قابل اتصال به کامپیوتر بود تصویربرداری شدند. بعد از انتقال تصاویر به کامپیوتر به وسیله نرم‌افزار Image Tools مساحت نواحی سفید و قرمز به ترتیب به عنوان نواحی آسیب‌دیده و سالم اندازه‌گیری شدند. حجم نواحی آسیب‌دیده و سالم برش‌ها در ضخامت ۲ میلی‌متر برش به دست آمد و سپس به واسطه معادله زیر حجم اصلاح شده ناحیه آسیب‌دیده محاسبه شد [۲۷].

$$\text{حجم ناحیه آسیب‌دیده} - \text{حجم نیمکره راست} = \text{حجم نیمکره چپ}$$

$$\text{حجم اصلاح شده ناحیه آسیب‌دیده} = \text{حجم نیمکره چپ} + \text{حجم اصلاح شده ناحیه آسیب‌دیده}$$

## ۶- آنالیز وسترن بلات ناقل گلوتامات

ابتدا برای یکنواخت کردن بافت مغز بافر یکنواخت به صورت زیر آماده شد. بافر حاوی ۳۲۰ میلی مولار سوکروز (Merck) (آلمان)، یک میلی مولار دی-ال دی تیوتیریتول (D-L-dithiothreitol) ۱۰ میکروگرم در میلی لیتر مهار کننده تریپسین سویین (soybean trypsin inhibitor Merck) (آلمان)، ۱۰۰ میکرومولار SDS (Merck) (آلمان)، ۱۰ فناکترولین (1,10-phenanthroline Merck) (آلمان)، یک میلی مولار PMSF (Phenylmethanesulphonyl fluoride) (Boehringer Boehringer) (آلمان)، بود که در دمای ۲۰ درجه سلسیوس با pH ۷ رسانده شد [۳].

۴۸ ساعت بعد از تیمار، حدود ۱۵۰ میلی گرم از بافت مغز با ناحیه آسیب مغزی جدا شد. بافت جدا شده را در دمای ۴ درجه سلسیوس در ۴ حجم حاوی بافر یکنواخت قرار داده شد [۶۰]. سپس به وسیله دستگاه سونیکاتور (Sonicator) به مدت ۱۰ ثانیه، ۵/۰ دور در ثانیه و دامنه ۶۰ درصد بافت مغزی یکنواخت شد. سپس به مدت ۱۰ دقیقه بافر حاوی محلول یکنواخت با سرعت ۹۰۰۰ دور در دقیقه در دمای ۴ درجه سانتی‌گراد سانتریفیوژ شد.

## ۹-۲\_ تحلیل نتایج و روش‌های آنالیز آماری

داده‌ها به صورت میانگین  $\pm$  انحراف خطای معیار (Mean $\pm$ SEM) بیان شده است. غلظت TNF- $\alpha$  سرم، ABG فسفوپروتئین مهارکننده، میزان بیان ناقل گلوتامات، و (one-way ANOVA test) از طریق آزمون آنواروای یک طرفه (Neurologic Deficit Score :NDS) محاسبه شده‌اند. امتیاز نقص‌های نوروولژیک U من ویتنی (Mann-Whitney U test) آنالیز شده است. معنی دار در نظر گرفته شده است.

## ۳- نتایج

### ۱-۳\_ پارامترهای شرایط آزمایش

بر اساس ارزیابی‌های آزمایش ABG فشار اکسیژن شریانی در شرایط هیپرکسی بسیار بالاتر از فشار اکسیژن شریانی در شرایط نورموکسی است (جدول ۱).

جدول ۱ وضعیت گازهای خون شریانی و تنفسی در پایان تیمار با هیپرکسی نورموباریک (\*= $P<0.001$ )

میزان تنفس (هرترز)	PO <sub>2</sub> (mmHg)	PCO <sub>2</sub> (mmHg)	pH	گروه‌های آزمایشی
۱/۶۲ $\pm$ ۰/۰۹	۹۲/۸ $\pm$ ۳/۳	۴۱/۱۶ $\pm$ ۱/۴	۷/۴ $\pm$ ۰/۰۳	متناوب RA
۱/۳۷ $\pm$ ۰/۱۲	۳۵۱/۱ $\pm$ ۱۷/۶*	۳۹/۲ $\pm$ ۱/۹	۷/۳ $\pm$ ۰/۰۲	متناوب HO
۱/۶۰ $\pm$ ۰/۱۱	۹۳/۲ $\pm$ ۵/۲	۴۰/۲ $\pm$ ۱/۳	۷/۳۷ $\pm$ ۰/۰۵۲	پیوسته RA
۱/۲۴ $\pm$ ۰/۱۲	۳۶۳ $\pm$ ۱۴/۳*	۳۷/۸ $\pm$ ۲/۲۸	۷/۳۵ $\pm$ ۰/۰۲۷	پیوسته HO

### ۲-۳\_ آثار InHO و PrHO بر NDS

میانه NDS به‌واسطه قرارگیری در معرض HO به‌طور قابل ملاحظه کاهش می‌یابد. میانه NDS در گروه‌های InHO و PrHO و نورموکسی نورموباریک متناوب (Intermittent RA:InRA) پیوسته (Prolonged RA:PrRA) در جدول ۲ نشان داده شده است. در رت‌هایی که به‌واسطه قرار گرفتن در معرض هیپرکسی هیچ‌گونه نقص نوروولژیک مشاهده نشده بود، با تزریق آوانسی آبی (Blue Evance)، این رنگ در ناحیه مرکزی سکته مشاهده شد. این مدرک نشان می‌دهد که در کلیه رت‌های مذکور انسداد شریان مرکزی مغز صورت گرفته است ولی به دلیل بروز پدیده تحمل به ایسکمی القایی هیپرکسی به ویژه در ناحیه پنومبرا (Penumbra)

TNF- $\alpha$  متصل به بیوتین (Biotin) برای اتصال به TNF- $\alpha$  آنتی‌بادی ضد TNF- $\alpha$  ته چاهک متصل است اضافه شد. آنگاه به مدت یک ساعت انکوباسیون انجام شد. سپس به‌واسطه بافر شستشو چاهک‌ها شسته می‌شدند. سپس استرپتوویدین-HRP (Streptavidin-HRP:Strep-HRP) برای اتصال به آنتی‌بادی TNF- $\alpha$  متصل به بیوتین اضافه شد. بعد از انکوباسیون، Strep-HRP غیر متصل شستشو می‌شدند و سپس محلول سویسترا حاوی تترابنزوودین و ۰/۰۲ درصد پراکسید هیدروژن برای واکنش با HRP به چاهک‌ها اضافه شد. واکنش به‌واسطه اضافه کردن اسید متوقف می‌شد و غلظت TNF- $\alpha$  سرم به‌واسطه جذب نوری در طول موج ۴۵۰ نانومتر اندازه‌گیری شد .(Start Fax-2100, USA)

### ۲-۸\_ آزمایش الیزا غلظت فسفوپروتئین

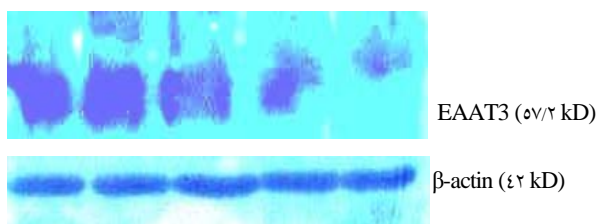
#### مهارکننده (Phospho-IkBα)

بعد از نمونه‌گیری مغزی، فسفوپروتئین مهارکننده به‌وسیله کیت اندازه‌گیری فسفوپروتئین مهارکننده بر اساس دستورالعمل کیت انجام شد (Alexis, Biochemicals). به‌طور خلاصه، ۵ میلی‌گرم از بافت مغزی ناحیه همسو در نیمکره غیر ایسکمی در محلول بافر فسفات سرد در دمای ۴ درجه سانتی‌گراد جدا شد و دو بار به مدت ۵ دقیقه با سرعت ۱۲۰۰ دور در دقیقه سانتریفیوژ شد. سپس حجم معادلی از بافر لیزکننده به حجم بافت اضافه و به مدت ۳۰ دقیقه در دمای ۴ درجه سانتی‌گراد انکوبه شد. آنگاه، به مدت ۱۰ دقیقه در دمای ۴ درجه سانتی‌گراد با سرعت ۱۲۰۰۰ دور در دقیقه سانتریفیوژ شد. محلول رویی (Supernatant) برای اندازه‌گیری غلظت پروتئین جمع آوری و محلول سلول‌های لیز شده تا غلظت ۱ میلی‌گرم در میلی‌لیتر در بافر مسدودکننده رقیق شد. سپس آنتی‌بادی آشکارکننده در محلول مسدودکننده با رقت ۱:۲۰۰ اضافه شد و به مدت یک ساعت در دمای اتاق انکوبه شد. بعد از شستشو، محلول سویسترا به چاهک‌ها اضافه و در فاصله ۲ تا ۱۰ دقیقه بعد از افزودن سویسترا میزان نور تولیدی توسط لومنیتور (Chemiluminescence Immunoassay analyzer, China) اندازه‌گیری شد.

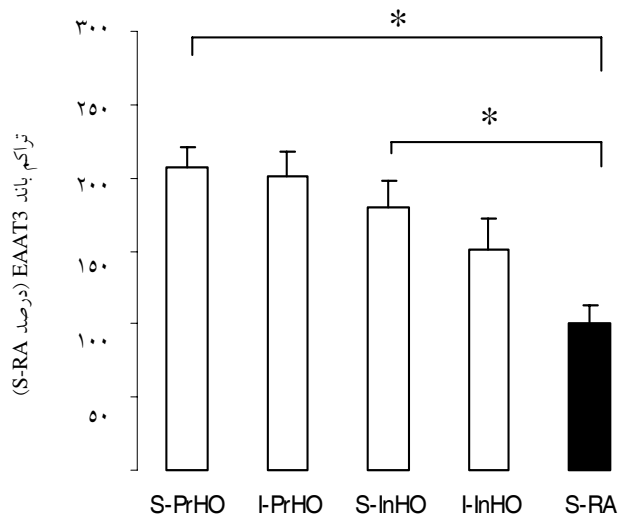
### ۴-۴- اثر InHO و PrHO بر بیان ژن ناقل

#### گلوتامات نوع ۳

شکل ۲ نشان می‌دهد که S-PrHO و S-InHO در مقایسه با S-RA باعث افزایش بیان ژن ناقل گلوتامات نوع ۳ می‌شوند. همچنین نشان می‌دهد که اثر PrHO نسبت به InHO بر افزایش بیان ژن ناقل گلوتامات نوع ۳ معنی دار نیست. تفاوت آماری گروه‌های مذکور در مقایسه با RA معنی دار است (شکل ۲).



شکل ۲ نشان می‌دهد که S-PrHO\*\*I- PrHO\*\*S-InHO\*\*I- InHO \*\*S-RA



شکل ۲ آنالیز وسترن بلات مقایسه میزان بیان پروتئین ناقل گلوتامات نوع ۳ (EAAT3/EAAC1) در مغز رت‌های گروه شم (S-PrHO) و گروه دست نخورد (I-PrHO) هیپرکسی نورموباریک پیوسته، گروه شم (S-InHO) و گروه دست نخورد (I-InHO) هیپرکسی نورموباریک متناوب، و نورموکسی نورموباریک (S-RA) را نشان می‌دهد. مقایسه با گروه کنترل انجام شده است (\*= $P<0.001$ )

استحکام سد خونی - مغزی افزایش یافته است.

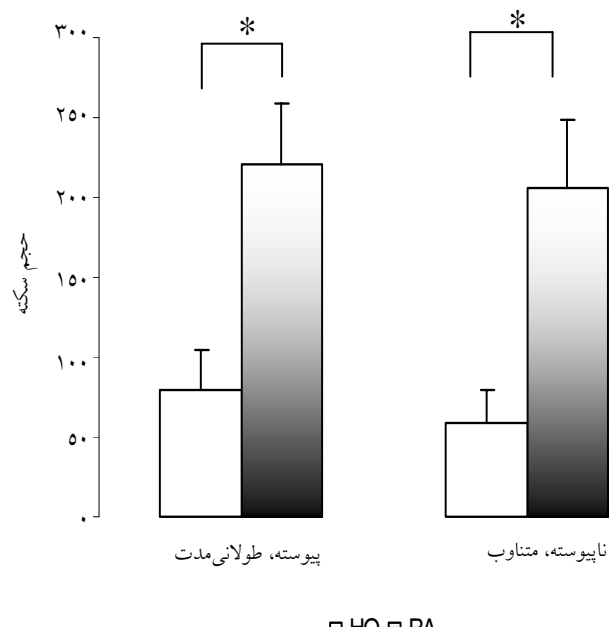
جدول ۲ توزیع امتیازهای نورولوژیک در هر گروه و مقایسه آماری آنها. همان‌طوری که ملاحظه می‌کنید مقایسه گروه‌های ردیف InRA: InHO و InHO:PrHO معنی دار است اما PrRA: PrHO معنی دار نیست.

نتایج آماری (مقدار P)	نوع گروه	تعداد نقص‌های نورولوژیک در هر گروه						گروه‌های آزمایشی	نوع گروه
		۴	۳	۲	۱	۰			
InHO* InRA:	۲	۸	۰	۲	۴	۲	۰	InRA	۱
InHO:PrHO	۰	۷	۰	۰	۱	۳	۳	InHO	۲
PrHO* PrRA:	۲	۸	۰	۱	۵	۲	۰	PrRA	۳
-	۱	۷	۰	۰	۱	۴	۲	PrHO	۴

\* =  $P<0.05$

### ۳-۳- آثار InHO و PrHO بر حجم آسیب بافتی

شکل ۱ نشان می‌دهد که InHO و PrHO در مقایسه با RA باعث کاهش حجم آسیب بافتی می‌شود. تفاوت آماری گروه‌های InHO و PrHO معنی دار نیست. تفاوت آماری گروه‌های مذکور (Sham RA: S-RA) معنی دار است. کاهش حجم آسیب بافتی و نقص‌های نورولوژیک اثر پدیده تحمل به ایسکمی حاصل از هیپرکسی را اثبات می‌کند.



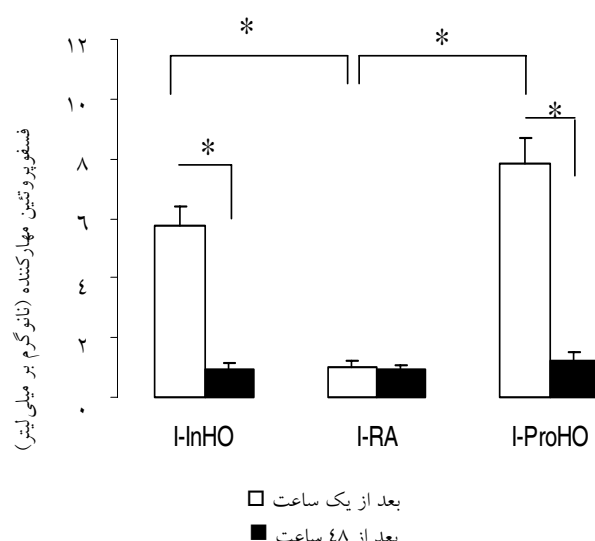
شکل ۱ اثر شرایط HO و RA متناوب و پیوسته را بر روی حجم آسیب بافتی نشان می‌دهد (\*= $P<0.05$ )

### ۴-۵- اثر InHO و PrHO بر غلظت TNF- $\alpha$ سرم

شکل ۳ نشان می‌دهد که InHO و PrHO یک ساعت بعد از پیش درمان، در مقایسه با RA باعث افزایش غلظت TNF- $\alpha$  سرم می‌شوند. همچنین نشان می‌دهد که اثر PrHO نسبت به InHO افزایش غلظت TNF- $\alpha$  سرم بیشتر است. InHO و PrHO بعد از ۴۸ ساعت از پیش درمان، در مقایسه با RA بر تغییر غلظت

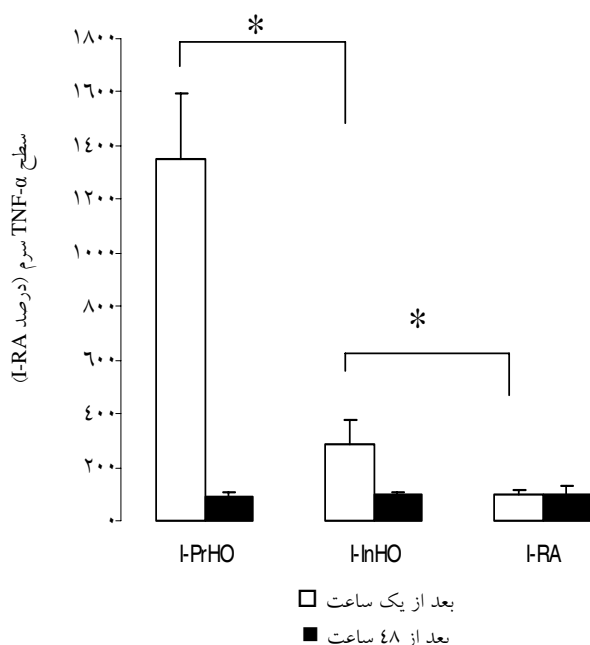
طرف دیگر نشان داده شده است که PrHO و InHO بیان ناصل گلوتامات شماره ۳ را افزایش می‌دهند. بنابراین بررسی رابطه متغیرهای فوق می‌تواند در روشن نمودن مکانیسم مولکولی پدیده تحمل به ایسکمی مفید باشد و دورنمای درمان ایسکمی‌های مغزی با پیش زمینه‌سازی را بهبود بخشد. مدل MCAO به واسطه نجف بخیه ایجاد می‌شود و یک مدل مطمئن و قابل تکرار در مدل‌های حیوانی ساخته مغزی است [۳۲]. شرایط فیزیولوژیک طی آزمایش در محدوده طبیعی نگاه داشته شد. البته، در گروه‌های هیپرکسی به علت غلظت بالای اکسیژن، محتوى اکسیژن افزایش می‌یافتد و فرکانس تنفس کاهش یافت.

براساس نتایج این مطالعه نشان داده شده است که PrHO به علت کاهش NDS در اثر ۶۰ دقیقه ایسکمی در مقایسه با گروه RA باعث ایجاد قابلیت تحمل به ایسکمی شده است. ژانگ و همکارانش نیز در سال ۲۰۰۳ با انجام این آزمایش پدیده تحمل به ایسکمی بعد از ۲۴ ساعت PrHO را گزارش کردند [۱۱]. همچنین گزارش کرده‌اند که PrHO کمتر از ۲۴ ساعت پدیده تحمل به ایسکمی را نشان نمی‌دهد و با تزریق رفتگرهای ROS دقیقاً قبل از ۲۴ ساعت PrHO پدیده تحمل به ایسکمی نشان داده نشده است [۱۱]. نتایج این پژوهش با نتایج ژانگ و همکارانش همخوانی دارد. بنابراین، PrHO احتمالاً با افزایش ROS مسیر پیام‌رسانی سلولی پیش شرطی‌سازی ایسکمی را به راه می‌اندازد.



شکل ۴ تغییرات سطح فسفوپروتئین مهارکننده در گروه‌های هیپرکسی نورموباریک (HO) و نورموکسی نورموباریک (RA) متنابوب (In) و پیوسته (Pr) یک و ۴۸ ساعت بعد از ازپیان هیپرکسی و نورموکسی نورموباریک. (\*= $P<0.01$ )

TNF- $\alpha$  سرم معنی دار نیست. تفاوت آماری گروه‌های مذکور در مقایسه با RA معنی دار است (شکل ۳).



شکل ۳ تغییرات سطح TNF- $\alpha$  سرم در گروه‌های هیپرکسی نورموباریک (HO) و نورموکسی نورموباریک (RA) متنابوب (In) و پیوسته (Pr) یک و ۴۸ ساعت بعد از ازپیان هیپرکسی و نورموکسی نورموباریک. (\*= $P<0.01$ )

### ۶-۳-اثر PrHO و InHO بر غلظت فسفوپروتئین

#### مهارکننده

شکل ۴ نشان می‌دهد که PrHO و InHO یک ساعت بعد از پیش درمان، در مقایسه با RA باعث افزایش غلظت فسفوپروتئین مهارکننده می‌شوند. همچنین نشان می‌دهد که اثر PrHO نسبت به InHO بر افزایش غلظت فسفوپروتئین مهارکننده بیشتر است. RA و InHO بعد از ۴۸ ساعت ازپیان درمان، در مقایسه با PrHO بر تغییر غلظت فسفوپروتئین مهارکننده معنی دار نیست. تفاوت آماری گروه‌های مذکور در مقایسه با RA معنی دار است (شکل ۴).

#### ۴-بحث

نتایج این تحقیق نشان می‌دهد که PrHO و InHO توانایی ایجاد پدیده تحمل به ایسکمی را دارند. همچنین همان‌طوری که قبل از نشان داده شده بود NF- $\kappa$ B رابطه تنگاتنگی با TNF- $\alpha$  در قلب دارد که در این تحقیق نیز بر این مهم پافشاری شده است. از

افزایش روند سازگاری سلول با شرایط سخت ایسکمی می‌شود که شامل افزایش زمان انعقاد خون و افزایش ایترولوکین‌ها هستند. ژن‌هایی که روند سازشی برای ایسکمی در بافت را به صورت پدیده تحمل به ایسکمی به نمایش می‌گذارند عبارتند از: افزاینده‌های میزان اکسیژن تحولی، تنظیم‌کننده‌های انرژی و متابولیسم و افزاینده‌های توان بقاپی سلول و توانایی تکثیر آن.

نتایج این پژوهش نشان می‌دهد که InHO و PrHO باعث افزایش غلظت فسفوپروتئین مهار کننده می‌شود. از طرف دیگر، InHO باعث افزایش بیان ژن TACE می‌شود. تاکنون PrHO گزارشی مبنی بر افزایش بیان ژن TACE به واسطه PrHO در مغز نشان داده نشده است. اما شواهدی وجود دارد که میزان بیان TACE بعد از ایسکمی مغزی افزایش می‌یابد. بدین ترتیب باعث افزایش آزادسازی TNF- $\alpha$  می‌شود و در صورتی که مهار کننده TACE مورد استفاده قرار گیرد، پدیده تحمل به ایسکمی نیز دیده نمی‌شود [۲۳]. همچنین نشان داده شده است که اگر TNF- $\alpha$  به صورت پیش درمان استفاده شود می‌تواند پدیده تحمل به ایسکمی را به وجود آورد [۲۹]. بنابراین نتایج این پژوهش با نتایج سایر محققین همخوانی دارد.

با توجه به نتایج فوق برخی نشان داده‌اند که TNF- $\alpha$  به عنوان یک میانجی کلیدی در پدیده تحمل به ایسکمی عمل می‌کند [۲۲]. همچنین نشان داده شده است که در پیش شرطی‌سازی ایسکمی میزان بیان ژن TACE افزایش می‌یابد [۲۳]. بنابراین، مکانیسم احتمالی که می‌توان در این زمینه پیش‌بینی کرد آن است که هیبرکسی باعث تولید TNF- $\alpha$  می‌شود. سپس TNF- $\alpha$  از طریق گیرنده خود باعث به راه افتادن مسیر پیام رسانی NF-κB در داخل سلول می‌شود [۲۳، ۱]. آنگاه، فاکتور نسخه برداری NF-κB باعث افزایش بیان گروهی از ژن‌های پیش شرطی‌سازی ایسکمی می‌شود و توان بقای سلول‌های عصبی را افزایش می‌دهد.

نشان داده شده است که NF-κB توسط عوامل مختلف داخل سلولی فعال می‌شود که مهم‌ترین آن‌ها TNF- $\alpha$  است [۳۷]. همانطوری که نتایج نشان می‌دهد InHO و PrHO هر دو باعث افزایش TNF- $\alpha$  و غلظت فسفوپروتئین مهار کننده می‌شود و این تغییرات با هم‌دیگر رابطه مستقیم دارند. این نتایج تا حدی می‌توانند بیانگر رابطه تنگاتنگ TNF- $\alpha$  و غلظت فسفوپروتئین مهار کننده باشند. از طرف دیگر، مهار NF-κB قبل از هیبرکسی حفاظت حاصل از هیبرکسی در برابر ایسکمی را سرکوب می‌کند [۱]. TNF- $\alpha$  و NF-κB احتمالاً در یک حلقه فیدبک مثبت با هم‌دیگر

در پژوهش‌های قبل نشان داده است که InHO باعث ایجاد تحمل به ایسکمی در مغز می‌شود [۱۳]. همچنین نشان داده شده است که ۴ ساعت HO منفرد پدیده تحمل به ایسکمی را در مغز نشان نمی‌دهد [۱۱]. دونگ و همکارانش نشان داده‌اند که پیش درمان با هیپرکسی هیپرباریک (۲/۵ اتمسفر) و HO به صورت یک ساعت در روز به مدت ۵ روز باعث ایجاد پدیده تحمل به ایسکمی در نخاع خرگوش شده است [۱۲]. نتایج پژوهش حاضر نتایج دونگ و همکارانش را تأیید می‌کند. بنابراین، تحمل به ایسکمی در بافت‌های مغزی مورد آزمایش بر اساس مدت زمان و مقدار غلظت اکسیژن متفاوت خواهد بود. کمیت و کیفیت تجویز اکسیژن در القای تحمل به ایسکمی، عوارض جانبی، و مسمومیت‌های آن روی بدن اهمیت دارد.

نتایج این پژوهش نشان می‌دهد که PrHO و InHO باعث افزایش بیان ژن ناقل گلوتامات نوع ۳ می‌شود. تاکنون گزارشی مبنی بر ایجاد تحمل به ایسکمی به واسطه افزایش بیان ژن ناقل گلوتامات نوع ۳ از طریق هیپرکسی در مغز متشر نشده است. اما نشان داده شده است که در اثر پیش شرطی‌سازی ایسکمی از طریق دوره‌های کوتاه ایسکمی در شرایط آزمایشگاهی (in vitro) میزان بیان ژن ناقل گلوتامات نوع ۳ افزایش می‌یابد. همچنین در شرایط این ویوو (in vivo) نشان داده شده است [۲۹] که میزان بیان ژن ناقل گلوتامات نوع ۳ در اثر دوره‌های کوتاه ایسکمی افزایش می‌یابد. از طرف دیگر، نشان داده شده است که گیرنده TNF- $\alpha$  افزایش بیان ژن ناقل گلوتامات نوع ۳ (EAAT3/EAAC1) را بعد از پیش شرطی‌سازی به ایسکمی مغزی وساطت می‌کند [۲۹]. همچنین شواهدی وجود دارد که ناقل گلوتامات نوع ۳ بعد از ایسکمی ناشی از MCAO چهار تظمیم افزایشی می‌شود. افزایش بیان ناقل گلوتامات نوع ۳ بعد از ایسکمی ممکن است تا حدی به تولید TNF- $\alpha$  و مسیر (TACE/TNF- $\alpha$ ) وابسته باشد [۲۹، ۱]. نتایج این تحقیق نیز نشان می‌دهد که تغییرات TNF- $\alpha$  و میزان بیان ژن ناقل گلوتامات نوع ۳ رابطه مستقیم دارند. مطالعات نشان می‌دهد که اکسیژن رسانی مجدد منجر به انفجار تولید ROS می‌شود و میتوکندری به عنوان منبع تولید ROS محسوب می‌شود [۳۷]. افزایش ROS حاصل از جریان خون مجدد باعث افزایش آسیب بافتی شده و موجب افزایش تولید TNF- $\alpha$  و سایر سیتوکین‌ها می‌شود. بدین ترتیب TNF- $\alpha$  از طریق گیرنده خود احتمالاً به واسطه فعال‌سازی NF-κB میزان بیان ژن ناقلين گلوتامات را در سلول‌های عصبی افزایش می‌دهد [۱، ۲۹]. علاوه بر این ژن‌های دیگری در مجموعه ژن‌های پیش شرطی‌سازی وجود دارد که باعث

مهار کننده را در درجات مختلف افزایش می‌دهند و از این طریق باعث فعال شدن NF- $\kappa$ B می‌شوند.<sup>۴</sup> استفاده از روش InHO برای القای پدیده تحمل به ایسکمی مناسب‌تر است. بنابراین، استفاده از HO یا طراحی موادی که قادر به تقلید از آثار HO در افزایش بیان و فعالیت ناقلین گلوتامات باشند، روش و استراتژی جدیدی در پیدایش داروها به وجود خواهد آورد که در به حداقل رساندن آسیب‌های نورونی طی ایسکمی مغزی یا حین پیشروی بیماری‌های مزمن تحلیل عصبی مفید خواهد بود.

## ۵- تشکر و قدردانی

این طرح با حمایت مالی صندوق حمایت از پژوهشگران ریاست جمهوری انجام شده است که بدینوسیله از همکاری و حمایت صندوق سپاسگزاری می‌شود.

همکاری دارند [۱۸]. بنابراین نتایج این تحقیق با نتایج سایر محققین همخوانی دارد.

در مجموع TNF- $\alpha$  تولیدی علاوه بر افزایش ناقل گلوتامات نوع ۳ که در این تحقیق نیز نشان داده شده است، ممکن است آثار دیگری نیز از طریق مسیرهای دیگر اعمال کند و باعث القای بیان ژن سایر ژن‌های پیش شرطی سازی شود. نتایج این پژوهش نشان می‌دهد که ناقل گلوتامات نوع ۳ در شرایط InHO و PrHO افزایش می‌باشد و این افزایش با افزایش غلظت TNF- $\alpha$  سرم رابطه مستقیم دارد.

نتایج این تحقیق نشان می‌دهد که، ۱) InHO و PrHO تحمل به ایسکمی را به وجود می‌آورند و باعث کاهش NDS می‌شوند. ۲) InHO و PrHO در درجات مختلف افزایش می‌دهند. این اثر تا حدی می‌تواند تحمل به ایسکمی را وساحت کند. ۳) InHO و PrHO غلظت فسفوپروتئین

## ۶- منابع

- [1] Romera C, Hurtado O, Botella S, Lizasoain I, Cardenas A, Fernandez-Tome P, Leza J, Lorenzo P, Moro M. In Vitro Ischemic Tolerance Involves Upregulation of Glutamate Transport Partly Mediated by the TACE/ADAM17–Tumor Necrosis Factor- $\alpha$  Pathway. *J Neurosci* 2004; 24(6): 1350–7.
- [2] Gidday JM, Fitzgibbons JC, Shah AR, Park TS. Neuroprotection from ischemic brain injury by hypoxic preconditioning in the neonatal rat. *Neurosci Lett* 1994; 168: 221–4.
- [3] Kitagawa K, Matsumoto M, Tagaya M, Hata R, Ueda H, Niinobe M, Handa N, Fukunaga R, Kimura K, Mikoshiba K. Ischemic tolerance phenomenon found in the brain. *Brain Res* 1990; 528: 21–4.
- [4] Plamondon H, Blondeau N, Heurteaux C, Lazdunski M. Mutually protective actions of kainic acid epileptic preconditioning and sublethal global ischemia on hippocampal neuronal death: involvement of adenosine A1 receptors and KATP channels. *J Cereb Blood Flow Metab* 1999; 19: 1296 –308.
- [5] Perez-Pinzon MA, Mumford PL, Rosenthal M, Sick TJ. Anoxic preconditioning in hippocampal slices: role of adenosine. *Neuroscience* 1996; 75: 687–94.
- [6] Matsushima K, Hogan MJ, Hakim AM. Cortical spreading depression protects against subsequent focal cerebral ischemia in rats. *J Cereb Blood Flow Metab* 1996; 16: 221–6.
- [7] Chopp M, Chen H, Ho KL, Dereski MO, Brown E, Hetzel FW, Welch KM. Transient hyperthermia protects against subsequent forebrain ischemic cell damage in the rat. *Neurology* 1989; 39: 1396–8.
- [8] Ohtsuki T, Matsumoto M, Kuwabara K, Kitagawa K, Suzuki K, Taniguchi N, Kamada T. Influence of oxidative stress on induced tolerance to ischemia in gerbil hippocampal neurons. *Brain Res* 1992; 599: 246–52.
- [9] Patel AJ, Honore' E, Maingret F, Lesage F, Fink M, Duprat F, Lazdunski M. A mammalian two pore domain mechanogated S-type K<sup>+</sup> channel. *EMBO J* 1998; 17: 4283–90.
- [10] Riepe MW, Esclaire F, Kasischke K, Schreiber S,

- Nakase H, Kempski O, Ludolph AC, Dirnagl U, Hugon J. Increased hypoxic tolerance by chemical inhibition of oxidative phosphorylation: "chemical preconditioning." *J Cereb Blood Flow Metab* 1997; 17: 257–64.
- [11] Zhang X, Xiong L, Hu W, Zheng Y, Zhu Z, Liu Y, Chen S, Wang X. Preconditioning with prolonged oxygen exposure induces ischemic tolerance in the brain via oxygen free radical formation. *Can J Anesth* 2004; 51(3): 258–63.
- [12] Dong H, Xiong L, Zhenghua Z, Chen S, Hou L, Sakabe T. Preconditioning with hyperbaric oxygen and hyperoxia induce tolerance against spinal cord ischemia in rabbits. *Anesthesiology* 2002; 96: 907-12.
- [13] Bigdeli M R, Hajizadeh S, Froozandeh M, Rasulian B, Heidarianpour A, Khoshbaten A. Prolonged and intermittent normobaric hyperoxia induce different degrees of ischemic tolerance in rat brain tissue. *Brain Res* 2007; 1152: 228-33.
- [14] Kirino T, Tsujita Y, Tamura A. Induced tolerance to ischemia in gerbil hippocampal neurons. *J Cereb Blood Flow Metab* 1991; 11: 299 –307.
- [15] Kato H, Araki T, Murase K, Kogure K. Induction of tolerance to ischemia: alterations in second-messenger systems in the gerbil hippocampus. *Brain Res Bull* 1992; 29: 559–65.
- [16] Grabb MC, Choi DW. Ischemic tolerance in murine cortical cell culture: critical role for NMDA receptors. *J Neurosci* 1999; 19: 1657–62.
- [17] Kasischke K, Ludolph AC, Riepe MW. NMDA antagonists reverse increased hypoxic tolerance by preceding chemical hypoxia. *Neurosci Lett* 1996; 214: 175–8.
- [18] Shimazaki K, Ishida A, Kawai N. Increase in bcl-2 oncoprotein and the tolerance to ischemia-induced neuronal death in the gerbil hippocampus. *Neurosci Res* 1994; 20: 95–9.
- [19] Ohtsuki T, Matsumoto M, Kuwabara K, Kitagawa K, Suzuki K, Taniguchi N, Kamada T. Influence of oxidative stress on induced tolerance to ischemia in gerbil hippocampal neurons. *Brain Res* 1992; 599: 246–52.
- [20] Heurteaux C, Lauritzen I, Widmann C, Lazdunski M. Essential role of adenosine, adenosine A<sub>1</sub> receptors and KATP channels in cerebral ischemic preconditioning. *Proc Natl Acad Sci USA* 1995; 92: 4666–70.
- [21] Toyoda T, Kassell NF, Lee KS. Induction of ischemic tolerance and antioxidant activity by brief focal ischemia. *Neuro Report* 1997; 8: 847–51.
- [22] Ravati A, Ahlemeyer B, Becker A, Klumpp S, Kriegstein J. Preconditioning-induced neuroprotection is mediated by reactive oxygen species and activation of the transcription factor nuclear factor-κB. *J Neurochem* 2001; 78: 909–19.
- [23] Gonzalez-Zulueta M, Feldman AB, Klesse LJ, Kalb RG, Dillman JF, Parada LF, Dawson TM, Dawson VL. Requirement for nitric oxide activation of p21 (ras)/extracellular regulated kinase in neuronal ischemic preconditioning. *Proc Natl Acad Sci USA* 2000; 97: 436–41.
- [24] Trendelenburg G, Prass K, Priller J, Kapinya K, Polley A, Muselmann C, Ruscher K, Kannbley U, Schmitt AO, Castell S, Wiegand F, Meisel A, Rosenthal A, Dirnagl U. Serial analysis of gene expression identifies metallothionein-II as major neuroprotective gene in mouse focal cerebral ischemia. *J Neurosci* 2002; 22: 5879–88.
- [25] Wick A, Wick W, Waltenberger W, Weller M, Dichgans J, Schulz JB. Neuroprotection by hypoxic preconditioning requires sequential activation of vascular endothelial growth factor receptor and Akt. *J Neurosci* 2002; 87: 7415-21.
- [26] Ruscher K, Freyer D, Karsch M, Isaev N, Megow D, Sawitzki B, Priller J, Dirnagl U, Meisel A. Erythropoietin is a paracrine mediator of ischemic tolerance in the brain: evidence from an in vitro model. *J Neurosci* 2002; 22: 10291–301.
- [27] McLaughlin BA, Hartnett KA, Erhardt KA, Legos

- JL, White RF, Barone FC, Aizenman E. Caspase 3 activation is essential for neuroprotection in preconditioning. *Proc Natl Acad Sci USA* 2003; 100: 715–20.
- [28] Mattson MP, Culmsee C, Yu Z, Camandola S. Roles of nuclear factor kappa B in neuronal survival and plasticity. *J Neurochem* 2000; 74: 443–56.
- [29] Pradillo J, Hurtado O, Romera C, Cardenas A, Fernandez-Tome P, Alonso-Escalon D, Lorenzo P, Moro M, Lizasoain. TNF-R1 mediates increased neuronal membrane EAAT3 expression after in vivo cerebral ischemic preconditioning. *J Neurosci* 2006; 138: 1171–8.
- [30] Liu J, Ginis I, Spatz M, Hallenbeck JM. Hypoxic preconditioning protects cultured neurons against hypoxic stress via TNF- $\alpha$  and ceramide. *Am J Physiol Cell Physiol*. 2000; 278: 144–53.
- [31] Longa E, Weinstein P, Carlson S, BS, Cummins R. Reversible Middle Cerebral Artery Occlusion without Craniectomy in Rats. *Stroke*. 1989; 20: 84–91.
- [32] Dittmar M, Spruss T, Schuierer G, Horn M. External carotid artery territory ischemia impairs outcome in the endovascular filament model of middle cerebral artery occlusion in rats. *Stroke* 2003; 34: 2252–7.
- [33] Yamashita A, Makita K, Kuroiwa T, Tanaka K. Glutamate transporters GLAST and EAAT4 regulate postischemic Purkinje cell death: An in vivo study using a cardiac arrest model in mice lacking GLAST or EAAT4. *Neurosci Res* 2006; 55: 264–70.
- [34] Robinson MB. The family of sodium-dependent glutamate transporters: a focus on the GLT-1/EAAT2 subtype. *Neurochem Int* 1998; 33: 479–91.
- [35] Namura S, Maeno H, Takami S, Jiang XF, Kamichi S, Wada K, Nagata I. Inhibition of glial glutamate transporter GLT-1 augments brain edema after transient focal cerebral ischemia in mice. *Neurosci Lett* 2002; 324: 117–20.
- [36] Rosenzweig HL, Minami M, Lessov NS, Coste SC, Stevens SL, Henshall DC, Meller R, Simon RP, Stenzel-Poore MP. Endotoxin preconditioning protects against the cytotoxic effects of TNFalpha after stroke: a novel role for TNFalpha in LPS-ischemic tolerance. *J Cereb Blood Flow Metab* 2007; in press.
- [37] Murry CE, Jennings RB, Reimer KA. Preconditioning with ischemia: a delay of lethal cell injury in ischemic myocardium. *Circulation* 1986; 74: 1124–36.